

669, 162, 212; 666, 76; 620, 193, 423

S 379

(47) 耐火レンガの炭素沈積におよぼすアルカリ蒸気の影響

70047

品川白煉瓦株式会社 理博 林武志

○ 濱野正雄

1. 緒言 高炉において、炉腹部を中心とする部分の内張レンガはおびただしい炭素の沈積やアルカリの侵入などによつて崩壊し、炉の寿命を決定することがあるのでさわめて重要視される。この部分の実際の沈積炭素を調べてみると、炭化鉄と共存する未状炭素とは別の不規則な微細粒状炭素がレンガ表面の内部全体に著しく認められる。この微細な粒状炭素の沈積は従来の鉄触媒説では説明しつくいものである。また最近炭素沈積におよぼすアルカリ蒸気の相互作用が重視されてきたので、これらの関連を明らかにするための実験を行つた。実験の結果は実際の使用後レンガ中の炭素によく似た沈積炭素を観察することができ、炭素沈積反応にアルカリ蒸気が重要な役割を演ずることがわかつた。

2. 試料および実験方法 試料は表1に示すごとく4種のレンガから原レンガ面を長手方向に一面残しそよそ $15 \times 15 \times 150\text{ mm}$ 大きさに切りとつたものである。試験は内径40mm、長さ200mmのアルミニウムボト中に試薬純級炭酸カリと高炉用コーカス粉末の混合物(2:1)を50g入れ、その上部に上記試料の一端をルツボの蓋に固定して懸垂し、試料の下部先端が1400°Cになるようルツボとともに炭素管熱体電気炉内で加熱した。この場合

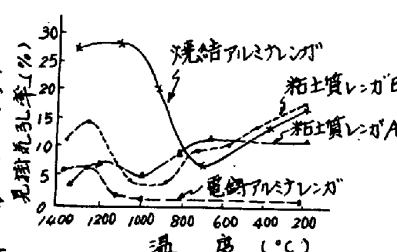
表1. 供試レンガの種類と品質

種類	性質	化學組成(%)			金属性組成		見掛け比重(%)	高比重	見掛け比重
		SiO ₂	Al ₂ O ₃	Fe ₂ O ₃	主	副			
電鋳アルミナレンガ	0.1	99.3	—	—	α -Al ₂ O ₃	γ -Al ₂ O ₃	0.9	3.78	3.82
焼結アルミナレンガ	6.5	90.1	0.7	3Al ₂ O ₃ -2SiO ₂	ガラス	17.0	3.04	3.66	
粘土質高炉レンガ	52.5	42.9	1.3	3Al ₂ O ₃ -2SiO ₂ (SiO ₂)	ガラス	12.1	2.33	2.67	
粘土質高炉レンガB	55.2	38.2	2.5	3Al ₂ O ₃ -2SiO ₂ (SiO ₂)	クリストバル	16.8	2.14	2.57	

比較として炭酸カリとコーカス粉末を混合しない場合についてもそれと同様の試験を行つた。試料は23~24%/minの昇温速度で加熱し所定温度に達してから1~10分保持後ルツボに入れてまき炉から取り出し、できるだけ早く冷して化学物理的試験や電子顕微鏡による観察に供した。

3. 実験結果 試料は炭酸カリ

ヒコーカス粉末を混合しないでそれと同様の試験した場合、いずれも変化が少なく析出炭素もほとんど認められない。しかし両者の混合物上で加熱処理すると写真1に示すごとく各温度帯に応じておびただしい炭素を析出し、著しく変質した(図1)。沈積炭素は写真2に示すように実際の変質レンガ中のものによく似たものである。また同時に挿入した白金線には炭素とともに金属カリの析出が認められた。

写真1. K_2CO_3-C 混合物上部が5分間加熱処理後試験用試料の切面写真2. 沈積炭素の電子顕微鏡写真
(a) 不純物の沈積炭素 (b) 実際の沈積炭素

4. 結言

(1) 高炉使用後レンガ中の炭素沈積に関して、従来の鉄触媒説で説明つかなかった微細粒状炭素について説明づけられるようになった。

(2) 高炉レンガの実際の沈積炭素は、炭化鉄触媒によるCO分解炭素よりもアルカリ蒸気によるCO分解炭素がおもなものと考える。

(3) 本実験では電鋳アルミナレンガが一番強い結果を示した。しかし時間の経過と共に電鋳アルミナレンガでも脆化し崩壊するのを認められた。